

05.2; 06.3

© 1991

ФОТОПРОВОДИМОСТЬ И УДАРНАЯ ИОНИЗАЦИЯ
В ПЛЕНКАХ $\alpha\text{-Si:H}$
В УФ ОБЛАСТИ СПЕКТРА

Ж. А таев, В.А. В асильев,
А.С. В олков, М. К умеков,
Е.И. Т еруков, И.В. Щ ведков

1. Как известно [1-3], пленки аморфного гидрогенизированного кремния ($\alpha\text{-Si:H}$) обладают выдающимися фотоэлектрическими свойствами: кратность фотопроводимости (Φ) ($\epsilon_\varphi / \epsilon_\tau$) в них достигает 10^4 - 10^5 при освещении от источника видимого света с интенсивностью $N = 10^{17}$ - 10^{18} фотон/ $\text{см}^2\cdot\text{с}$. Однако до сих пор характеристики пленок исследовались только в ближнем ИК и видимом спектральном диапазоне.

В настоящем сообщении приводятся результаты исследования стационарной Φ пленок $\alpha\text{-Si:H}$ в более широком спектральном диапазоне ($\hbar\nu = 1.5$ - 6.3 эВ). Обнаружено, что при энергии квантов возбуждающего света $\hbar\nu > 3.6$ эВ имеет место заметный рост квантовой эффективности внутреннего фотоэффекта (в два раза при $\hbar\nu = 6$ эВ), что может быть естественно отнесено на счет ударной ионизации.

2. Пленки $\alpha\text{-Si:H}$ толщиной от 700 до 3000 \AA были получены методом разложения газовой смеси SiH-Ar (60:40) в ВЧ тлеющем разряде при температуре подложки $T_s = 250$ °С. Образцы для исследования Φ представляли собой структуры $\text{Al}-\alpha\text{-Si:H-Al}$ с планарным расположением электродов, расстояние между которыми составляло $l = 3$ и 10 мкм. Геометрия образцов представлена на рис. 1, а. Для измерения спектральной зависимости фототока (ϵ_φ) пленки облучались светом от галогенной лампы накаливания в диапазоне энергий $\hbar\nu = 1.5$ - 3.5 эВ и от H_2+D_2 - лампы в диапазоне энергий $\hbar\nu = 3$ - 6.3 эВ со средним потоком фотонов $N = 10^{11}$ - 10^{12} фотон/ $\text{см}^2\cdot\text{с}$.

Для точного учета числа поглощенных фотонов измерялись также спектр отражения ($R(\hbar\nu)$) и край оптического поглощения $\alpha(\hbar\nu)$.

3. На рис. 1 представлена типичная спектральная зависимость стационарного фототока для структур $\text{Al}-\alpha\text{-Si:H-Al}$ с $l = 10$ мкм при $T = 295$ К. Как видно из рисунка, спектр фототока имеет сложную форму: при возрастании $\hbar\nu$ сначала наблюдается резкий рост фототока, обусловленный ростом коэффициента поглощения в области энергий фотонов 1.7-2.1 эВ, затем

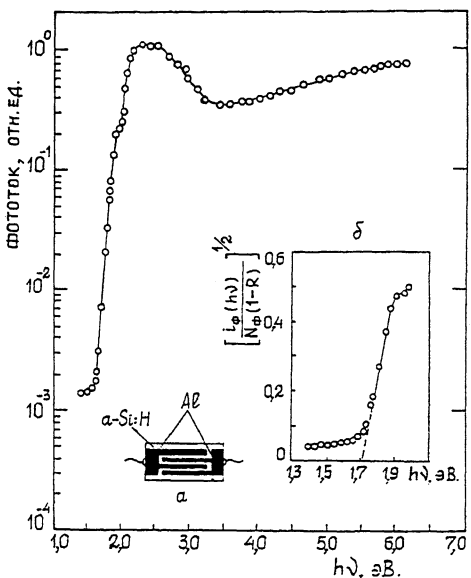


Рис. 1. Спектральная зависимость фототока структур $Al-a-Si:H-Al$ при $T = 295$ К и $\delta = 10$ мкм.

На вставке экстраполяция кривой $[i_p \cdot \hbar\omega / cN(1-R)]^{1/2} = 0$, дающая величину $E_g = 1.7$ эВ.

происходит некоторое падение фототока в области энергии $\hbar\omega = 2.2-3.6$ эВ, а начиная с $\hbar\omega > 3.6$ эВ фототок снова увеличивается вплоть до предельно достигнутой в эксперименте энергии $\hbar\omega = 6.8$ эВ. Апроксимация зависимости $[i_p \cdot \hbar\omega / cN(1-R)]^{1/2}$ от $\hbar\omega$ в области красной границы позволяет определить ширину запрещенной зоны (на вставке рис. 1, б); она составляет $E_g = 1.7$ эВ и хорошо согласуется с величиной, определенной по краю оптического поглощения, согласно стандартной процедуре [3] $(\alpha \cdot \hbar\omega)^{1/2} = (\hbar\omega - E_g)$.

Квантовая эффективность внутреннего фототока, как известно, определяется выражением

$$\gamma(\hbar\omega) \sim [i_p \cdot (\hbar\omega) / cN(1-R)] \times [1 - \exp(-\alpha(\hbar\omega)\alpha)].$$

На рис. 2, а приведен результат расчета $\gamma(\hbar\omega)$ с учетом измеренных зависимостей $\alpha(\hbar\omega)$ и $R(\hbar\omega)$ в широком спектральном интервале (рис. 2, б). Как видно из рисунка, в области энергий $\hbar\omega = 1.7-3.0$ эВ квантовая эффективность постоянна ($\gamma = 1$ эл./фотон), затем наблюдается некоторое уменьшение γ , обусловленное влиянием поверхностной рекомбинации; начиная с энергий фотонов $\hbar\omega = 3.6$ эВ, γ увеличивается, удваиваясь при $\hbar\omega =$

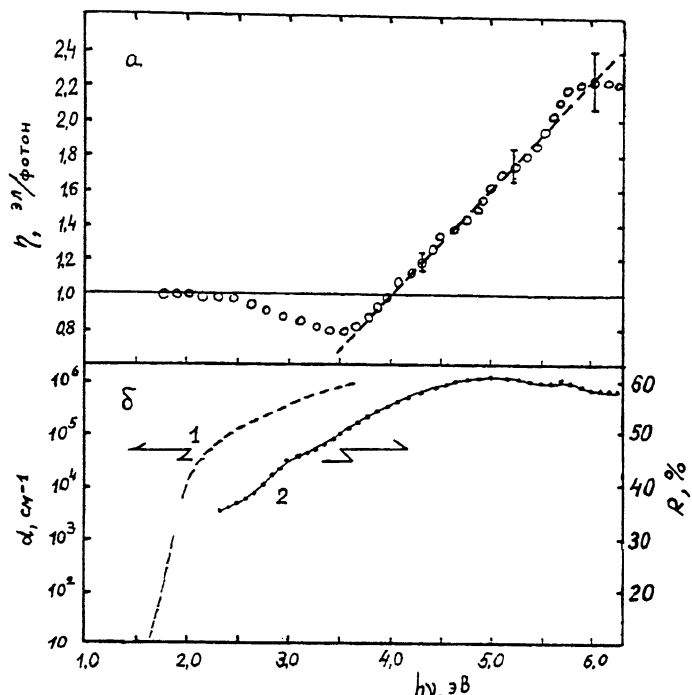


Рис. 2. Спектральная зависимость квантовой эффективности внутреннего фотоэффекта в а- $\text{Si} : \text{H}$ (а) и 1 - $\alpha(h\nu)$ и 2 - $R(h\nu)$ (б) при $T = 295$ К.

= 6 эВ. Скорость поверхностной рекомбинации можно изменять, варьируя технологические параметры осаждения пленок. Обработка пленок водородом приводит к ослаблению поверхностной рекомбинации.

Ход полученной спектральной зависимости $\eta(h\nu)$ в УФ диапазоне при $h\nu > 3.6$ эВ позволяет утверждать, что в а- $\text{Si} : \text{H}$ имеет место процесс ударной ионизации носителей заряда и этот процесс имеет явно выраженный пороговый характер. Как видно из рис. 2, пороговая энергия увеличения квантовой эффективности составляет $\eta_{\text{c}} = 3.6$ эВ).¹ Наличие порога возрастания $\eta(h\nu)$ означает, что при энергии возбуждающего света, равной или большей пороговой, фотоэлектрон (или фотодырка) приобретает кинетическую энергию, достаточную для ионизации еще одной электрон-дырочной пары.

¹ Напряженность электрического поля вплоть до 10^4 В/см не влияет на спектр $\eta(h\nu)$ и величину ϵ_{c} , а $\epsilon_{\text{p}}(E)$ изменяется линейно.

Величина найденного порога \mathcal{E}_i в а-*Si:H* удивительно хорошо совпадает с аналогичной величиной для кристаллического кремния [4]. Поскольку в аморфных полупроводниках правила отбора с учетом сохранения квазимпульса для дна зоны не работают, то проговая энергия ударной ионизации \mathcal{E}_i (например, для зоны проводимости) должна определяться лишь с учетом сохранения энергии и быть меньше, чем в кристаллическом аналоге.

Тот факт, что пороги возрастания $\gamma(h\nu)$ в а-*Si:H* и в кристаллическом кремнии совпадают, говорит о том, что эти пороги определяются не \mathcal{E}_i , а порогами новых оптических переходов в поглощении, при которых фотоносители в обоих случаях уже сразу имеют энергию, превосходящую пороги ударной ионизации, поэтому разница в значениях \mathcal{E}_i не оказывается на значении γ_i . Правда, для такого вывода надо допустить, что зонные структуры а-*Si:H* и кристаллического кремния в области больших энергий совпадают.

Другой важной характеристикой процесса ударной ионизации является величина средней энергии образования электронно-дырочной пары A_i , определяемой по наклону зависимости $\gamma(h\nu)$. Эта величина отражает конкуренцию между процессами ударной ионизации и другими процессами релаксации энергии горячих носителей (испусканиеphonонов, межэлектронное рассеяние и т.д.). Определенная вблизи первого порога (по наклону пунктирной прямой на рис. 2, а) величина A_i для а-*Si:H* оказалась равной $A_i = 2.4$ эВ/пару, что заметно меньше аналогичной величины в кристаллическом кремнии $A_i = 3.62$ эВ/пару [4]. Эта разница может быть отнесена за счет более благоприятных условий для ударной ионизации в а-*Si:H*, о чём уже говорилось выше.

Список литературы

- [1] Carlson D.E. // Solar Energy Materials. 1980. V. 3. P. 503-518.
- [2] Хамакава Е. В кн.: Современные проблемы полупроводниковой фотоэнергетики. М.: Мир, 1988. С. 139-200.
- [3] Amorphous Silicon and Related Materials. Vol A+B. Ed by H. Fritzsch. World Scientific, Singapore, 1988.
- [4] Christensen O. // J. Appl. Phys. 1976. V. 47. N 2. P. 689-695.

Физико-технический институт
им. А.Ф. Иоффе АН СССР,
Ленинград

Поступило в Редакцию
15 ноября 1990 г.